

рические размеры частиц и параметры, характеризующие потенциал их взаимодействия, взяты из [4].

Результаты вычислений приведены в таблице. Звездочка над символом коэффициента вязкости означает, что он получен путем линейной экстраполяции экспериментальных данных [3] в область рассматриваемой температуры. Если принять во внимание, что на практике нередко требуется знать лишь порядок величины константы реакции, то соответствие между теоретическими и экспериментальными данными [5] сравнительно хорошее.

Поступила 27 X 1981

ЛИТЕРАТУРА

1. Kramers H. A. Brownian motion in a field of force and the diffusion model of chemical reactions.— *Physica (The Hague)*, 1940, vol. 7, N 4.
2. Решетняк С. А., Шеленин Л. А. К диффузионной теории химических реакций.— *ПМТФ*, 1981, № 5.
3. Таблицы физических величин. Справочник/Под ред. И. К. Киикоина. М.: Атомиздат, 1976.
4. Краткий справочник физико-химических величин/Под ред. К. П. Мищенко и А. А. Равделя. Л.: Химия, 1972.
5. Кондратьев В. Н. Константы скорости газофазных реакций. Справочник. М.: Наука, 1970.

УДК 532.516

АСИМПТОТИЧЕСКОЕ РЕШЕНИЕ УРАВНЕНИЙ НАВЬЕ — СТОКСА ДЛЯ ЗАДАЧИ О РАДИАЛЬНОМ ТЕЧЕНИИ ЖИДКОСТИ В ЗАЗОРЕ, ОБРАЗОВАННОМ ДВУМЯ ВРАЩАЮЩИМИСЯ ДИСКАМИ

П. И. Саньков, Е. М. Смирнов
(Ленинград)

Известные аналитические частные решения уравнений Навье — Стокса для задачи о течении жидкости между двумя дисками, вращающимися с одинаковой [1—2] или разными [3] угловыми скоростями, представляются в виде рядов по степеням безразмерных параметров, один из которых пропорционален угловой скорости вращения, а другой — средней по зазору величине радиальной скорости на данном радиусе. В настоящей работе решение задачи представляется в виде ряда только по степеням второго из безразмерных параметров. Множители при различных степенях выбранного параметра, являющиеся функциями поперечной координаты и параметра, характеризующего интенсивность вращения, находятся путем численного интегрирования последовательных систем обыкновенных дифференциальных уравнений. Полученное решение в нулевом приближении совпадает с известными автомодельными численными решениями уравнений Навье—Стокса для течения с нулевым радиальным расходом между двумя вращающимися дисками [4—5], а в целом пригодно для анализа течения в более широком по сравнению с решениями [1—3] диапазоне изменения параметров задачи. Подробно представлены результаты решения и сравнение с экспериментальными данными [6—7] в случае вращения дисков с одинаковыми скоростями.

1. Рассмотрим осесимметричное ламинарное течение вязкой несжимаемой жидкости в узком зазоре между двумя параллельными дисками, которые в общем случае вращаются с различными скоростями вокруг единой оси. Начало цилиндрической системы координат r, θ, z поместим в точку пересечения оси вращения с внутренней поверхностью одного из дисков, угловую скорость вращения которого положим равной величине ω . Внутренняя поверхность второго диска находится на расстоянии $z = h$ и вращается с постоянной угловой скоростью $\alpha\omega$ ($-1 \leq \alpha \leq 1$). На оси вращения в зазоре имеется источник (сток) жидкости заданной мощности $2\pi Q$.

Течение жидкости в зазоре описывается системой уравнений Навье—Стокса

$$(1.1) \quad \begin{aligned} u \frac{\partial u}{\partial r} + w \frac{\partial u}{\partial z} - \frac{v^2}{r} &= -\frac{1}{\rho} \frac{\partial p}{\partial r} + \nu \left(\frac{\partial^2 u}{\partial r^2} + \frac{1}{r} \frac{\partial u}{\partial r} - \frac{u}{r^2} + \frac{\partial^2 u}{\partial z^2} \right), \\ u \frac{\partial v}{\partial r} + w \frac{\partial v}{\partial z} + \frac{uv}{r} &= \nu \left(\frac{\partial^2 v}{\partial r^2} + \frac{1}{r} \frac{\partial v}{\partial r} - \frac{v}{r^2} + \frac{\partial^2 v}{\partial z^2} \right), \\ u \frac{\partial w}{\partial r} + w \frac{\partial w}{\partial z} &= -\frac{1}{\rho} \frac{\partial p}{\partial z} + \nu \left(\frac{\partial^2 w}{\partial r^2} + \frac{1}{r} \frac{\partial w}{\partial r} + \frac{\partial^2 w}{\partial z^2} \right), \quad \frac{\partial(ru)}{\partial r} + \frac{\partial(rw)}{\partial z} = 0 \end{aligned}$$

при следующих граничных условиях по координате z :

$$(1.2) \quad \begin{aligned} u = 0, v = \omega r, w = 0 &\text{ при } z = 0, \\ u = 0, v = \alpha \omega r, w = 0 &\text{ при } z = h. \end{aligned}$$

Здесь u, v, w — составляющие скорости по координатам r, θ, z ; p, ρ, ν — давление, плотность и коэффициент кинематической вязкости жидкости.

Примененный в работе полуаналитический метод построения частного решения системы (1.1) не использует граничных условий по координате r . Пригодность полученного решения для анализа течения при произвольных распределениях $u(z), v(z)$ на цилиндрических поверхностях, ограничивающих зазор, обсуждается ниже.

Из уравнения неразрывности при заданных граничных условиях следует условие

$$(1.3) \quad \int_0^h r u dz = Q = \text{const.}$$

2. Введем функцию тока

$$(2.1) \quad u = \frac{1}{r} \frac{\partial \psi}{\partial z}, \quad w = -\frac{1}{r} \frac{\partial \psi}{\partial r}$$

и безразмерные величины

$$(2.2) \quad \xi = z/h, \quad \psi = -\frac{1}{2} \omega r^2 h H,$$

$$u = -\frac{1}{2} \omega r U = -\frac{1}{2} \omega r \frac{\partial H}{\partial \xi}, \quad v = \omega r G.$$

Подставим (2.1), (2.2) в систему (1.1) и условия (1.2), (1.3). Перейдем к новому аргументу ε , связанному с радиальной координатой соотношением $\varepsilon = 2Q/\omega r^2 h$.

Используя формулы перехода

$$r \frac{\partial}{\partial r} = -2\varepsilon \frac{\partial}{\partial \varepsilon}, \quad r^2 \frac{\partial}{\partial r^2} = 2\varepsilon \frac{\partial}{\partial \varepsilon} + 2\varepsilon \frac{\partial}{\partial \varepsilon} \left(2\varepsilon \frac{\partial}{\partial \varepsilon} \right),$$

получим в результате следующую систему уравнений:

$$(2.3) \quad U'' - R \left(H U' + 2G^2 - \frac{1}{2} U^2 \right) = 2R \Pi + R\varepsilon \left(U \frac{\partial U}{\partial \varepsilon} + U' \frac{\partial H}{\partial \varepsilon} \right) + O \left(\frac{h^2}{r^2} \varepsilon \right),$$

$$G'' + R(GU - HG') = R\varepsilon \left(U \frac{\partial G}{\partial \varepsilon} - G' \frac{\partial H}{\partial \varepsilon} \right) + O \left(\frac{h^2}{r^2} \varepsilon \right),$$

$$U = H', \quad p = p^* + O \left(\frac{h^2}{r^2} \varepsilon \right).$$

Граничные условия к системе (2.3) имеют вид

$$(2.4) \quad \begin{aligned} U = 0, G = 1, H = 0 &\text{ при } \xi = 0, \quad U = 0, G = \alpha, H = \\ &= -\varepsilon \text{ при } \xi = 1. \end{aligned}$$

Здесь штрихом обозначена операция дифференцирования по ξ . Величина $R = \omega h^2/\nu$ является параметром задачи. Значения функции $\Pi =$

$$= -\frac{1}{\rho\omega^2 r} \frac{dp^*}{dr}, \text{ где } p^* = \int_0^1 p d\xi, \text{ определяются при удовлетворении гра-$$

ничному условию для безразмерной функции тока $H(\xi = 1) = -\varepsilon$. Безразмерные величины U, G, H имеют порядок единицы. Полагая $(h/r)^2\varepsilon \ll \ll 1$, в дальнейшем опустим в (2.3) члены этого порядка малости.

Точка $\varepsilon = 0$ является особой точкой уравнений системы (2.3), в которой уравнения (2.3) совпадают с уравнениями Кармана, используемыми в задачах нахождение автомодельных решений для течения вблизи вращающихся поверхностей или в пристенном слое жидкости, когда последняя вдалеке от поверхности вращается как твердое тело.

Подчеркнем, что величина ε может стать сколь угодно малой не только при уменьшении мощности источника, но и при конечных фиксированных значениях Q , если только величины ω или r достаточно велики.

Решение $H_0(\xi), U_0(\xi), G_0(\xi)$ системы (2.3) при $\varepsilon = 0$ полностью определяется граничными условиями (2.4). Это решение, казалось бы, можно использовать как начальное условие для интегрирования системы (2.3), (2.4). Однако в области $\varepsilon \geq 0$ для любого α всегда найдется участок, внутри которого величина U , по крайней мере на части интервала изменения ξ , отрицательна, что делает поставленную задачу некорректной [8]. Разыскание решения численным интегрированием системы (2.3) с использованием функций H_0, U_0, G_0 в качестве начальных условий возможно лишь в случае $\varepsilon < 0$ для ограниченного диапазона изменения параметров α и R .

Применяя полуаналитический метод интегрирования системы (2.3), (2.4), использующий разложение искомых функций в ряд по степеням ε и численное интегрирование последовательных систем обыкновенных дифференциальных уравнений, удается построить решение задачи (2.3), (2.4) в широком диапазоне изменения аргумента ε и параметров α и R . Вопрос о радиусе сходимости ряда остается открытым, однако поведение масштабов вычисленных величин, соответствующих возрастающим степеням ε , указывает на достаточно быструю сходимость ряда при не слишком больших значениях R . В полученном таким образом решении неавтомодельность задачи учитывается через суммарное действие источника (стока). Влияние другой причины неавтомодельности рассматриваемой задачи, а именно заданных распределений U и G на входе и выходе из зазора, исчезает на расстояниях, масштабом которых является ширина зазора, в то время как влияние источника (стока) в целом ощущается вдоль всего зазора. Таким образом, для любых граничных условий в случае $h/r \ll 1$ характеристики потока при перемещении рассматриваемого сечения внутрь зазора асимптотически приближаются к разыскиваемому частному, но практически главному решению поставленной задачи, которое вслед за [1] названо асимптотическим.

3. Представим решение в виде

$$(3.1) \quad F = F_0 + F_1\varepsilon + F_2\varepsilon^2 + F_3\varepsilon^3 + \dots,$$

где F — любая из функций H, U, G, Π .

Подставим разложения (3.1) в систему (2.3) и, сохраняя члены, пропорциональные ε^3 включительно, получим четыре системы дифференциальных уравнений с соответствующими граничными условиями. Вид системы и граничных условий для определения начального приближения легко получается из системы (2.3), (2.4) при $\varepsilon = 0$. Для систем следующих приближений введем общую форму записи

$$U_i'' - RH_0U_i' + A_i'U_i = B_i^1, \quad G_i'' - RH_0G_i' + A_i^2G_i = B_i^2, \quad U_i = H_i',$$

Таблица 1

i	1	2	3
A_i^1	0	$-RU_0$	$-2RU_0$
A_i^2	0	$-RU_0$	$-2RU_0$
B_i^1	$2R\Pi_1 + 4RG_0G_1$	$2R\Pi_2 + R\left[\frac{1}{2}U_1^2 - H_2U_0' + 2(G_1^2 + 2G_0G_2)\right]$	$2R\Pi_3 + R(2U_1U_2 - U_1'H_2 + 4G_1G_2 + 4G_0G_3 - 2U_0'H_3)$
B_i^2	$-RU_1G_0$	$-R(G_0'H_2 + G_0U_2)$	$-R(U_1G_2 + U_3G_0 + 2G_0'H_3 + G_1'H_2)$

где выражения для коэффициентов при производных функций и правых частях представлены в табл. 1. При этом все граничные условия имеют вид $U_i = G_i = H_i = 0$ при $\xi = 0$ и $\xi = 1$, за исключением условия $H_1 = -1$ при $\xi = 1$.

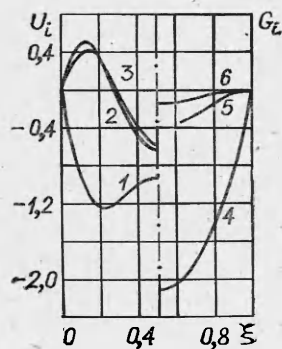
Полученные системы обыкновенных дифференциальных уравнений интегрировались последовательно численным методом. Для первых производных использовалась центральная аппроксимация на сетке с равномерным шагом, для вторых производных — обычная трехточечная аппроксимация. При решении систем применялся метод установления. На каждом временном шаге системы алгебраических уравнений решались методом прогонки для сложных систем [9]. Процесс установления считался

законченным, когда достигалось условие $\sum_{m=0}^M |F_{im}^{k+1} - F_{im}^k| / \sum_{m=0}^M |F_{im}^{k+1}| \leq \delta$,

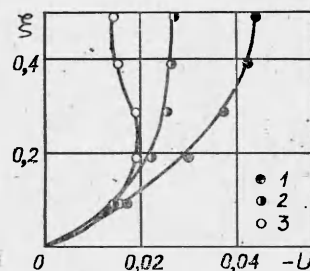
где F_i — любая из функций H_i, U_i, G_i ($i = 0, 1, 2, 3$); m — номер узла сетки; M — общее число узлов; k — номер временного шага.

Систематические расчеты проведены при $M = 50$ и $\delta = 10^{-4}$. Результаты решения системы нулевого приближения в случае $\alpha = 0$ (вращающийся и неподвижный диски) вплоть до $R = 100$ согласуются с [4, 5]. Основные расчеты проведены для случая $\alpha = 1$ (вращение дисков с одинаковой скоростью), когда $U_0 = 0, G_0 = 1$. В качестве примера на фиг. 1 приведены результаты расчета функций F_i в разложении (3.1) для осевой и окружной составляющих скорости при $R = 10,0$. Кривые 1—3 соответствуют U_i , где $i = 1, 2, 3$, кривые 4—6 — G_i . Как видно, даже при достаточно большом значении параметра R величина функций F_i с увеличением номера i не только не возрастает, но заметно падает. Наиболее интересные с практической точки зрения интегральные характеристики течения представлены в табл. 2.

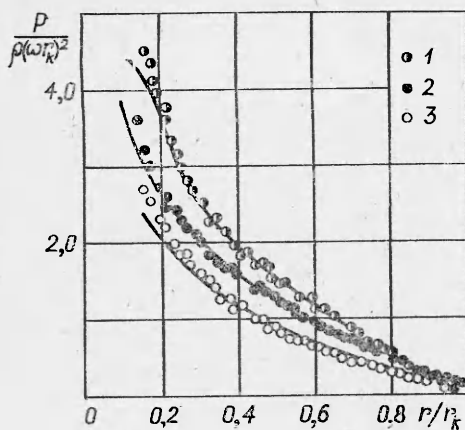
В [7] для случая $\alpha = 1$ измерены составляющие скорости жидкости при ее подаче в отверстие вблизи центра дисков. На фиг. 2 приведены экспериментальные [7] и рассчитанные в данной работе профили радиаль-



Фиг. 1



Фиг. 2



Ф и г. 3

отклоняются от опытных лишь вблизи центрального отверстия. Отметим, что даже при весьма больших местных значениях $\varepsilon = (r/r_k)^{-2}\varepsilon_k$ при $r/r_k = 0,2$, а именно при $R = 4,29$, $\varepsilon = 11,7$; $R = 2,17$, $\varepsilon = 7,98$; $R = 7,11$, $\varepsilon = 7,00$ согласие результатов расчета и эксперимента хорошее. Однако дальнейшее увеличение ε (уменьшение r) приводит к резкому расхождению результатов. Определяя значения ε (при заданных R), соответствующие началу резкого отклонения расчетного значения величины dp^*/dr от экспериментального, можно предложить следующую оценку диапазона применимости полученного решения для расчета распределения давления: $R|\varepsilon| < 50$.

Т а б л и ц а 2

R	1,0	2,0	4,0	9,0	16,0	25,0	49,0
P_0	-1,0	-1,0	-1,0	-1,0	-1,0	-1,0	-1,0
P_1	6,2407	3,4833	2,4618	2,7578	3,8034	4,9598	7,0321
P_2	-0,4002	-0,4459	-0,6202	-1,4343	-2,9205	-4,6150	-8,5520
P_3	-0,0029	-0,0080	-0,0254	-0,1916	-0,9373	-2,2767	-4,5398
$G'_0(0)$	0	0	0	0	0	0	0
$G'_1(0)$	-0,4987	-0,9981	-1,9989	-4,5019	-8,0109	-12,5322	-24,6459
$G'_2(0)$	0,0004	0,0017	0,0027	0,0039	0,0109	0,0322	0,1764
$G'_3(0)$	0,0000	-0,0002	-0,0008	0,0004	0,0041	0,0240	0,1573

Сравнение настоящего решения с приведенными в [10] результатами численного интегрирования уравнений движения при подаче жидкости с периферии также указывает на хорошее согласие результатов на достаточном удалении от входа в зазор. Течение в узком зазоре на входном участке приближенным методом анализировалось в [11]. Сопоставление данных [10, 11] с результатами настоящего решения позволяет заключить, что влияние начального распределения при $R|\varepsilon| < 10$ исчезает для течения от центра при $r/r_i > 1,2$ (r_i — радиус внутренней кромки дисков), а для течения с периферии — при $r/r_k < 0,9$. Приведенные неравенства, конечно, следует рассматривать только как оценочные.

В заключение отметим, что при проведении расчетов для $\alpha = 0$ и -1 дополнительных трудностей не было.

Поступила 15 XII 1981

ЛИТЕРАТУРА

1. Matsch L., Rice W. An asymptotic solution for laminar flow of an incompressible fluid between rotating disks.— Trans. ASME. Ser. E. J. Appl. Mech., 1968, vol. 35, N 3.
2. Мисюра В. И. Ламинарное течение несжимаемой жидкости между двумя вращающимися дисками.— Изв. АН СССР. МЖГ, 1972, № 5.
3. Kreith F., Viviani H. Laminar source flow between two parallel coaxial disks rotating at different speeds.— Trans. ASME. Ser. E. J. Appl. Mech., 1967, vol. 34, N 3.
4. Pearson C. E. Numerical solution for time dependent viscous flow between two rotating coaxial disks.— J. Fluid Mech., 1965, vol. 24, pt 4.
5. Barret K. E. Numerical study of the flow between rotating coaxial discs.— J. Appl. Math. and Phys., 1975, vol. 26, N 6.
6. Adams R., Rice W. Experimental investigation of the flow between co-rotating disks.— Trans. ASME. Ser. E. J. Appl. Mech., 1970, vol. 37, N 3.
7. Мисюра В. И. Экспериментальное исследование течения несжимаемой жидкости между двумя вращающимися дисками.— Изв. высш. учеб. заведений. Энергетика, 1977, № 5.
8. Тихонов А. Н., Арсенин В. И. Методы решения некорректных задач. М.: Наука, 1979.
9. Самарский А. А., Николаев Е. С. Методы решения сеточных уравнений. М.: Наука, 1978.
10. Boyd K. E., Rice W. Laminar inward flow of an incompressible fluid between rotating disks with full peripheral admission.— Trans. ASME. Ser. E. J. Appl. Mech., 1968, vol. 35, N 2.
11. Шляев М. И., Арбузов В. Н. Начальный гидродинамический участок течения жидкости между вращающимися дисками.— В кн.: Методы гидроаэромеханики в приложении к некоторым технологическим процессам. Томск: изд. Томск. ун-та, 1977.

УДК 532.51 + 532.62

СТАЦИОНАРНЫЕ ДЛИННЫЕ ВОЛНЫ В ЖИДКОЙ ПЛЕНКЕ НА НАКЛОННОЙ ПЛОСКОСТИ

Ю. А. Бувич, С. В. Кудымов

(Свердловск)

Нелинейные уравнения, описывающие волновое течение тонкой жидкой пленки, получают обычно при помощи дополнительного предположения о характере распределения продольной компоненты скорости по толщине пленки. Такой подход реализован при использовании системы двух уравнений для расхода жидкости и отклонения толщины пленки от значения, соответствующего неволновому ламинарному течению, в [1—3]. В [4—6] единственное эволюционное уравнение для толщины пленки также получается при помощи метода типа обычного метода Кармана — Польшаузена. При этом неизбежно возникает вопрос о пределах применимости получаемых уравнений и о допустимой ими точности описания волнового процесса. Для ответа на этот вопрос необходимо, очевидно, использовать прямые методы вывода эволюционного уравнения, предполагающие одновременное определение профиля скорости в пленке [7—9]. Ниже это сделано при небольших пленочных числах Рейнольдса для течения по наклонной плоскости (рассматривавшегося ранее в [6, 10, 11]). Одно из полученных уравнений применено к исследованию слабонелинейных стационарных бегущих волн. В отличие от прежних исследований стационарных режимов все параметры таких волн определены однозначно.

1. Течение в пленке. Введем безразмерные переменные и параметры

$$(1.1) \quad t = \frac{u_0}{\lambda} t', \quad x = \frac{x'}{\lambda}, \quad y = \frac{y'}{h_0}, \quad \begin{cases} \{v_x\} \\ \{v_y\} \end{cases} = \frac{1}{u_0} \begin{cases} \{v'_x\} \\ \{v'_y\} \end{cases},$$

$$\varphi = \frac{h - h_0}{h_0}, \quad p = \frac{\text{Re}}{\rho u_0^2} p', \quad \text{Re} = \frac{u_0 h_0}{\nu}, \quad \varepsilon = \frac{h_0}{\lambda},$$

$$T = \frac{3\varepsilon^3 \text{We}}{\cos \alpha}, \quad \text{We} = \frac{\sigma}{\rho g h_0^2}, \quad u_0 = \left(\frac{\cos \alpha}{3} \frac{\sigma}{\nu} \right)^{1/3} Q^{2/3}, \quad h_0 = \left(\frac{3}{\cos \alpha} \frac{\nu Q}{g} \right)^{1/3}.$$

Здесь штрихами обозначены соответствующие размерные переменные; α — угол наклона плоскости к вертикали; λ — характерный про-